# تصميم ريش لتربينات ريحية أفقية المحور لعدد من المناطق في الجماهيرية \*

م. عبد الحميد حواص \* د. وداد الأسطى \* م. أمال يعقوب \*

### 1- المقدمة:

لقد انتشرت منظومات تحويل طاقة الرياح في الكثير من دول العالم وتطورت تقنياتها بشكل متسسارع، وأصبحت جزءاً مهماً من مصادر الطاقة المحلية التي يمكن الاعتماد عليها في هذه الدول، وجزءا لا يتجزأ من خليطها الطاقي حتى ولو بنسب صغيرة في الوقت الحالي. ولقد أصبحت مصادر الطاقة البديلة بشكل عام، وخاصة طاقة الرياح تدخل ضمن استراتيجيات العديد من الدول الصناعية والدول النامية على حد سواء لسد جزء من الاحتياج الطاقي سواء في إنتاج الطاقة الكهربائية بإقامة ما يعرف بمزارع الرياح، أو بعض التطبيقات الأخرى. وعبر التاريخ نجد أن طاقة الرياح شهدت عصور من الرخاء والازدهار وعصوراً من الركود. وقد شهد العقدان الأخيران ازدهارا كبير لتقنية طاقة الرياح لم تشهده من قبل، خاصة في السدول الصناعية.

وانتقلت هذه التقنية من دول العالم الصناعي، الي طورت هذه التقنيات إلى دول العالم الثالث تدريجيا. للذا تناولت هذه اللراسة التركيز على أحد جوانب هله التقنيات لمنظومات تحويل طاقة الرياح، والمتمثل في الطرق المتبعة في تصميم ريش منظومات تحويل طاقة الرياح وتقييم أدائها. كبداية لبحوث أخرى أكثر تعمقاً في مجال تصميم منظومات تحويل طاقة الرياح، هدف كسب الخبرة في مجال تصنيع أو تقييم منظومات تحويل طاقة الرياح.

لقد تم تصميم عدد خمسة نماذج لريش منظومة تحويك طاقة رياح، بقدرة 1000 ك.وات عند نسب سرعات طرفية تصميمية من 5 إلى 9 ( تمثل كل الاختيارات عند التصميم)، وحددت أبعادها باستخدام المعادلات الرياضية، وأدخلت البيانات الخاصة بكل نموذج إلى برنامج الحاسوب "BLADES" (وهو برنامج متخصص في تحليل القوي الديناميكا الهوائية المؤثرة على الريشة وحساب منحني القدرة والطاقة المولدة سنوياً من منظومة طاقة الرياح بناء على

بيانات الموقع)، حيث تم عن طريقه حساب الأداء على امتداد الريشة، والتي قسمت إلى عشرة أجزاء لإجراء هذه التحليلات. وقد رسم منحنى معامل القدرة ومعامل الدفع لكل نموذج وذلك لتوضيح الاختلاف في الكفاءة وقوى الدفع المؤثرة على الريشة.

ولقد أفترض بأن الريش سوف تركب لمنظومات تحويل طاقة الرياح لعدد من المناطق في الجماهيرية تتميز بسرعة رياح جيدة، فقد حسبت الطاقة المولدة سنويا لكل نموذج. وذلك عن طريق إدخال معامل الشكل ومعامل القياس لدالة و يبل لهذه المناطق بناءً على بيانات الرياح المتاحة من محطات الإرصاد الموجود بما الموقع ذو العلاقة. وهذه البيانات تتمثل في سرعة واتجاه الرياح وذلك لفترات زمنية تمتد لمدة عشر سنوات. وقد أبرزت النتائج بصورة تسمح بالمقارنة بين النماذج المختلفة، ومن ثم المساهمة في اتخاذ القرار لاختيار التصميم المناسب لكل منطقة من مناطق الجماهيرية السقي شملتها الدراسة.

# 2. تصميم الريش

لتصميم أي ريشة يجب تحديد بعض المتغيرات وذلك كما يلي:

# 1.2. السرعة التصميمية (السرعة الاسمية)

لقد تم إيجاد قيمة النسبة بين السرعة الاسمية لمنظومة تحويل طاقة الرياح ومتوسط سرعة الرياح في الموقع الاراكمين (Vr/Vavr) عن طريق المعادلة (1)، وذلك باستخدام برنامج Mathcad وبافتراض نموذج التجاوب التكعيبي Cubic لمنظومة الرياح، الواقع (Response Model بين سرعة بدء الحركة والسرعة الاسمية [1]، وذلك لتحديد

أفضل قيم لكل من السرعة الاسمية ( $V_r$ ) وسرعة بدأ الحركة ( $V_c$ ) بفرض الحصول على أفضل طاقة منتجة سنوياً. كما أفترض بأن خشونة السطح لمحطات الإرصاد أو الأماكين المرشحة لمواقع منظومة تحويل طاقة الرياح تتراوح بين 0.03 متر، وذلك حسب طبيعة المنطقة المختارة في هذه الدراسة. كما تم حساب معامل الشكل (K) ومعامل القياس (C) لدالة ويبل بناء على هذه الافتراضات، ودونت النتائج في الجدول رقم (I)، والذي يحتوي على سرعات الرياح في الجدول من متوسط سرعة الرياح وأفضل قيدمة الرياح وكذلك معامل الشكل ومعامل القياس لدالة ويبل.

 $[(a-h^3)k h^k d^k -3a] exp[(1-h^k) d^k]+3 = 0.0$ 

(1)

$$a = \frac{b}{b+1}$$
 حيث إن:

$$d = \frac{V_r}{V_{avr}}$$

$$h = \frac{V_C}{V_r}$$

b: معامل التجاوب التكعيبي

من الجدول رقم (1) نستنتج أن متوسط السرعة الاسمية 14 م/ث، وأقل سرعة لبدء الحركة هي 3.8 م/ث. بالتسالي استخدمت هذه القيم في عمليات التصميم التالية.

# 2.2. نصف القطر لتربينة

لتحديد نصف قطر الدوار، يتعين تحديد القدرة المطلوب إنتاجها للتوربينة الريحية ، وقد تم افتراض التالى:

جدول (1) خصائص الرياح بالمناطق المختارة

قيم المتغيرات عند خشونةالسطح 0.1 م وارتفاع 50 م					0.0 م	•	خشونة فاع 50	غیرات عند وارت	ت				
K	C (څ/م)	<b>V</b> c (م/ث)	Vr (م/ث)	V <sub>avr</sub> (خ/خ)	К	C (م/ث)	<b>V</b> <sub>c</sub> (م/ث)	<b>V</b> r (م/ث)	V <sub>avr</sub> (م/ث)	<b>V</b> c (م/بــــــــــــــــــــــــــــــــــــ			
2.6	7.9	4.5	14.7	7.0	2.4	7.5	4.2	13.9	6.6	3.3	10.89	5.2	زواره
2.3	7.2	4.5	14.7	6.3	2.2	6.8	4.2	13.9	6.0	3.2	10.91	4.7	سرت
2.3	6.9	4.2	14.2	6.2	2.2	6.5	4.0	13.4	5.9	3.2	10.51	4.6	اجدابيا
2.8	7.9	4.0	13.5	6.5	2.7	7.5	3.8	12.8	6.1	3	10.02	4.7	بنغازى
2.3	7.2	4.5	14.7	6.5	2.2	6.8	4.2	13.6	6.1	3.2	10.92	4.7	شحات
2.4	7.4	4.3	14.4		2.34	7.02	4.0	13.6					المتوسط

p: الطاقة الناتجة

Ср : معامل القدرة

كثافة الهواء  $ho_{
m o}$ 

ηα: كفاءة نقل الحوكة من الدوار الى المولد

η: كفاءة المولد

ونظراً للتطورات الحديثة في مجال تصمـــيـــم ريـــش منظومات الرياح، يمكن ملاحظة أن القيمة القصوى لمعامــل القدرة (  ${f Cp_{Max}}$  ) في منظومات طاقة الرياح المتاحة حالياً في السوق لمنظومة بمثل حجم المنظومة موضوع الدراسة يصل إلى 0.48 تقريبا. ومنها يمكن تحديد معامل القدرة التصميمي عن طريق استخدام المعادلة التالية:

(3) 
$$Cp = 0.8 Cp_{Max} = 0.384$$

الأنواع شيوعا واستخداماً هي التوربينات ذات الثلاث ريش وذلك لما تتميز به من أتزان وقلة اهتزازات. وقــــد دلت التجارب على أفضليتها في التطبيقات علي اليابسة).

- القدرة المنتجة 1000 ك.وات
- استخدم في الحسابات جنيح ذو رقم ناسا NACA [2] 4418, NACA 4415. وذلك نتيجة لتفوق منحني معامل الرفع على كثير من الجنيحــات الأخــرى، ويستخدم هذا الجنيح في عمليات التصنيع في كثير من منظومات الرياح.
- وقد حسبت قيمة نصف القطر للتوربينة من معددكة الطاقة الناتجة وذلك كالآبي :

(2) 
$$R = \sqrt{\frac{2P}{\pi \rho \ V_r \ cp \ \eta_d \ \eta_g}}$$

وبما أن كثافة الهواء تتغير مع الارتفاع ودرجة الحرارة فقد تم تصحيح قيمة الكثافة بالتعويض في المعادلة (4) [3]، حيث حسبت كثافة الهواء عند ارتفاع 50 متر.

$$\rho = \rho_0 \, Exp \bigg( -\frac{0.297 \, H}{3048} \bigg)$$

حيث أن:

 $ho_o$  کثافة الهواء عند سطح الأرض = 1.22496 کجم/م $ho_o$ : H:الارتفاع عن سطح الأرض 50 متر.

ومن المعادلة (4) تكون كثافة الهواء عند ارتفاع 50 متر 1.215 كجم/م $^{3}$  .

كما وضعت الافتراضات التالية بالنسبة لكفاءة مكونات التوربينة:

$$_{0.8=}$$
  $\eta_d$ 

 $\eta_g$ 

وللحصول على نصف قطر الدوار يمكن التعويض في المعادلة (2). من هذه الحسابات وجد أن نصف قطر الدوار 28.6 متر.

# 3.2. تحديد الوتر (Chord)

وقد تم حساب طول الوتر للريش عند مواضع مختلفة من الريشة عن طريق المعادلة التالية:

$$C = \frac{8 \Pi r}{B C_l} (1 - \cos \Phi)$$

حيث أن: طول الريشة تم تقسيمه لحساب الوتر عند مواضع مختلفة من مركز الريشة إلى طرفها على المستداد الريشة (من 0 إلى 28.6 متر).

حيث أن:

r: المسافة النصف قطرية (من 0 إلى 28.6 متر).

B :عدد الريش.

(List force ) قصى قيمة لمعامل الرفع ( $\mathbf{C}^{-1}$ 

 $\Phi$  : زاویة انسیاب محصلة الریاح علی مستوی الدوران تحسب من خلال المعادلة التالیة:

$$\Phi = \frac{2}{3} \tan^{-1} \left( \frac{1}{\lambda r} \right)$$

حيث أن:

λr: هي نسبة السرعة الطرفية عند نصف القطر r.

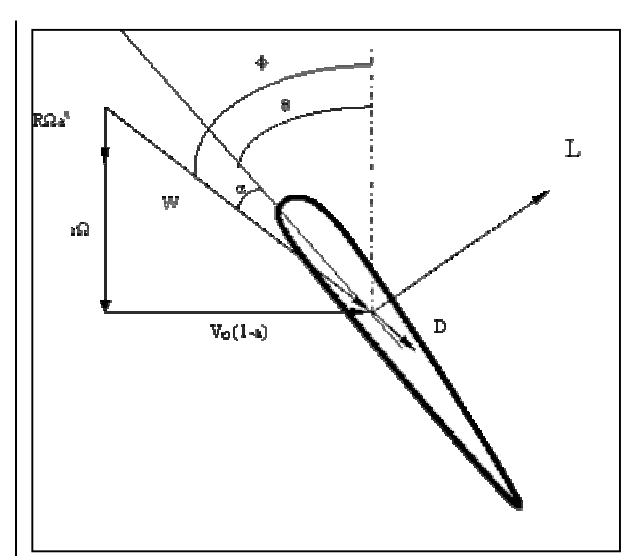
ولحساب هذه الزاوية عند المسافات المختلفة على طول نصف القطر تم افتراض التالى:

القدرة ( ${\bf p}_{\rm Max}$ ) التداخل المحوري ( ${\bf a}$ ) عند أكبر قيمة لمعامل التداخل المحوري ( ${\bf p}_{\rm Max}$ ) القدرة ( ${\bf Cp}_{\rm Max}$ )

 $(a^1)$  همال قيمة معامل التداخل المماسية  $(a^1)$  حيث أن قيمته صغيرة جداً أقل من 0.1 .

# 4.2 تعيين قيمة رقم رينولد (Re)

لتحديد المنحى المناسب لمعاملات الرفع والكبح، تم حساب رقم رينولد من المعادلة التالية [3]:



شكل(1) القوى المؤثرة على الجنيح

وبالتعويض في المعادلات السابقة عند نسب سرعات طرفية 9,8,7,6,5 تم الحصول على خمسة نماذج لريش مختلفة وذلك كما هو موضح في الشكل ( 2 ).

## 3. الأداء النظرى:

للتنبؤ بالقدرة التي يمكن الحصول عليها من التربينة، تم إدخال بيانات المناطق المبينة في جدول (1) في برناميج الحاسوب "BLADES"، والتي اشتملت على متوسط سرعة الرياح ومعامل القياس ومعامل الشكل لدالة ويبل عنند ارتفاع 50 متر فوق سطح الأرض، وذلك في المناطق ذات درجة خشونة 0.1 و0.03 والتي تمثل طبيعة المواقع لحطات الأرصاد أو الأماكن المزمع تركيب منظومات تحويل طاقية

الرياح فيها. يوضح الشكل (3) الطاقة المتوقع توليدها سنوياً في المناطق المختلفة لكل نموذج.

ولتحديد القوة المؤثرة على الجنيح قسمت الريشة

شكل (2) طول الوتر على امتداد الريشة للنماذج المختلفة

إلى عشرة أجزاء بنسب

مئوية متساوية، كما هـو مؤضح في الجدول (2). كما تم إدخال البيانات الخاصة بكل غوذج إلى برنامج الحاسوب "BLADES" والذي طور مـن قبل مؤسسة جراد حسان، واستخرجت النتائج وتم تمثيلها على هيئة رسوم بيانية المبينة في الأشكال من (4) إلى (6).

# 4. التعليق على النتائج

بالنظر إلى شكل (3) الذي يمثل الطاقة السنوية المتوقع الحصول عليها من النماذج الخمسة التي تم تناولها في

(7) 
$$R_{e} = \frac{W C}{\gamma} = \frac{8\pi r V_{0}}{B C_{I} \gamma} \sqrt{\left(\frac{4}{9} + \lambda_{r}^{2}\right)} (1 - Cos\Phi)$$

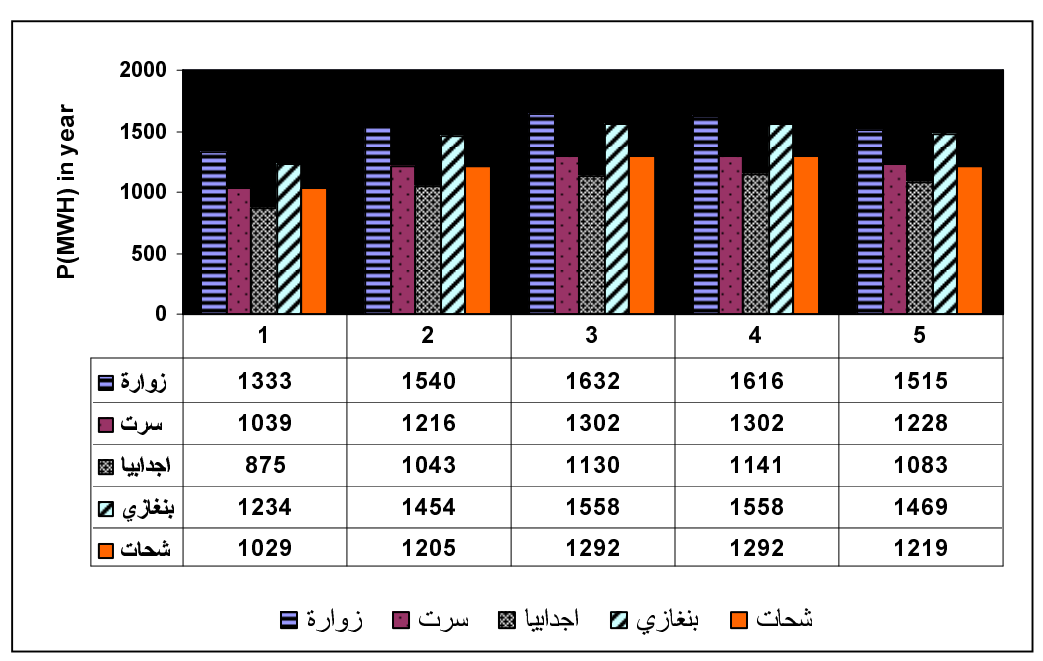
حسث أن

.(پلهواء عند مستوى سطح البحر)  $R_e$ =69000 W  $C_l$ 

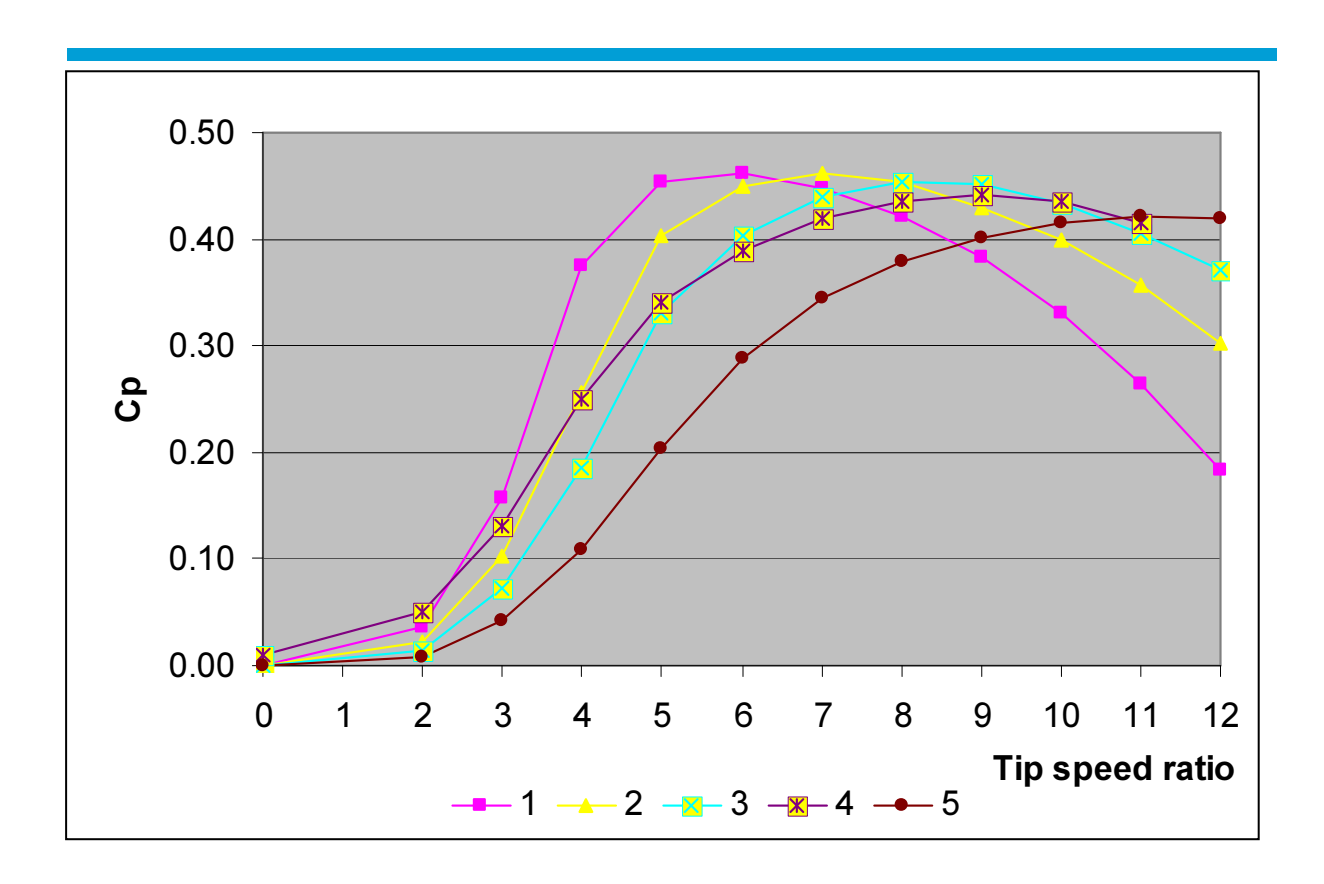
y: معامل اللزوجة

جدول (2) أبعاد النماذج

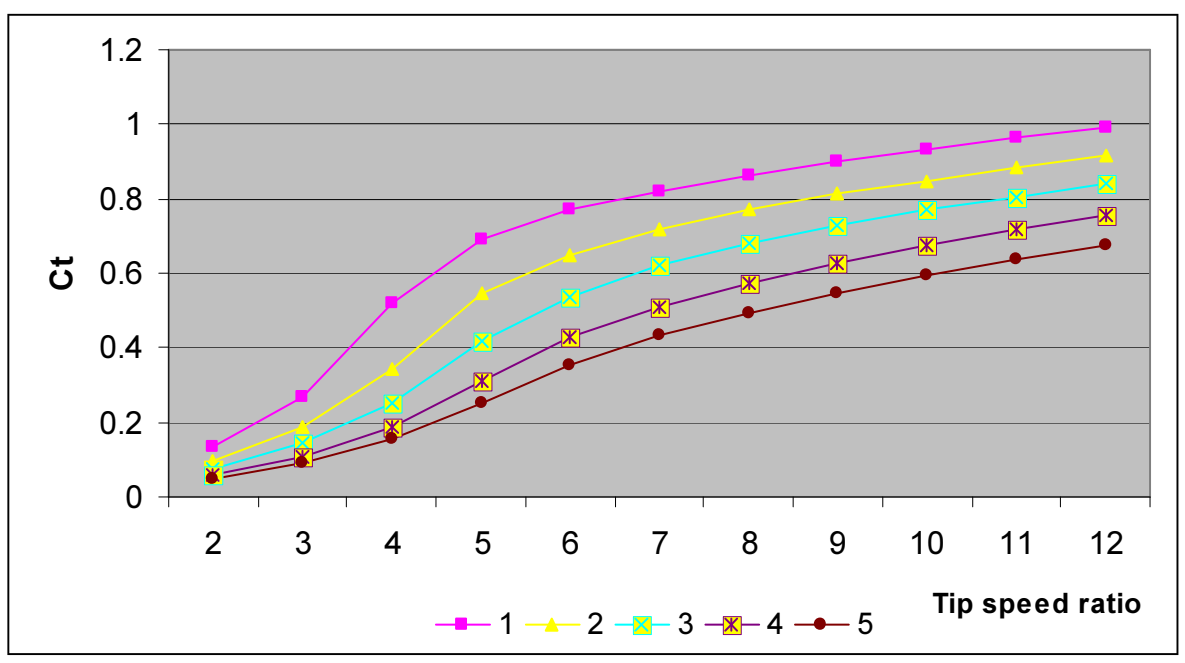
5			4			3			2			1			النماذج	
C (2)	θ (°)	λ	C (2)	θ (°)	λ	C (a)	θ (°)	λ	C (a)	θ (°)	λ	C (2)	θ (°)	λ	رقم NAC A	r (%)
8	7.8	٠	. 8	7.2		.8	6.6		. 8	5.7		.8	4.5		-	0
2.7	21	.9	3.1	23.2	8	3.51	25.7	. 7	4	28.4	.6	4.6	31.3	5	4418	1
2. 1	8.4	1.8	2.4	1, .3	1.6	2.99	12.7	1.4	3.7	15.6	1.2	4.8	19	1	4418	.2
1.48	2.6	2.7	1.8	4. 9	2.4	2.32	5.98	2.1	3	8.38	1.8	4	11.5	1.5	4418	.3
1.15	- 6	3.6	1.4	.58	3.2	1.85	2.11	2.8	2.4	4. 9	2.4	3.4	6.72	2	4418	.4
94	-2.6	4.5	1.2	-1.6	4	1.52	- 4	3.5	2	1.3	3	2.8	3.54	2.5	4418	.5
75	-5	5.4	. 9	-4.2	4.8	1.23	-3.1	4.2	1.6	-1.6	3.6	2.3	.3	3	4415	.6
65	-6	6.3	.8	-5.2	5.6	1. 6	-4.3	4.9	1.4	-3.1	4.2	2	-1.4	3.5	4415	7
.57	-6.7	7.2	7	-6.1	6.4	94	-5.2	5.6	1.3	-4.2	4.8	1.8	-2.6	4	4415	.8
.51	-7.3	8.1	6	-6.7	7.2	84	-6	6.3	1.1	-5	5.4	1.6	-3.6	4.5	4415	.9
46	-7.8	9	6	-7.2	8	.75	-6.6	7	1	-5.7	6	1.5	-4.5	5	4415	1



شكل(3) الطاقة المتوقع استخلاصها من الرياح من النماذج المختلفة في مناطق موضوع الدراسة

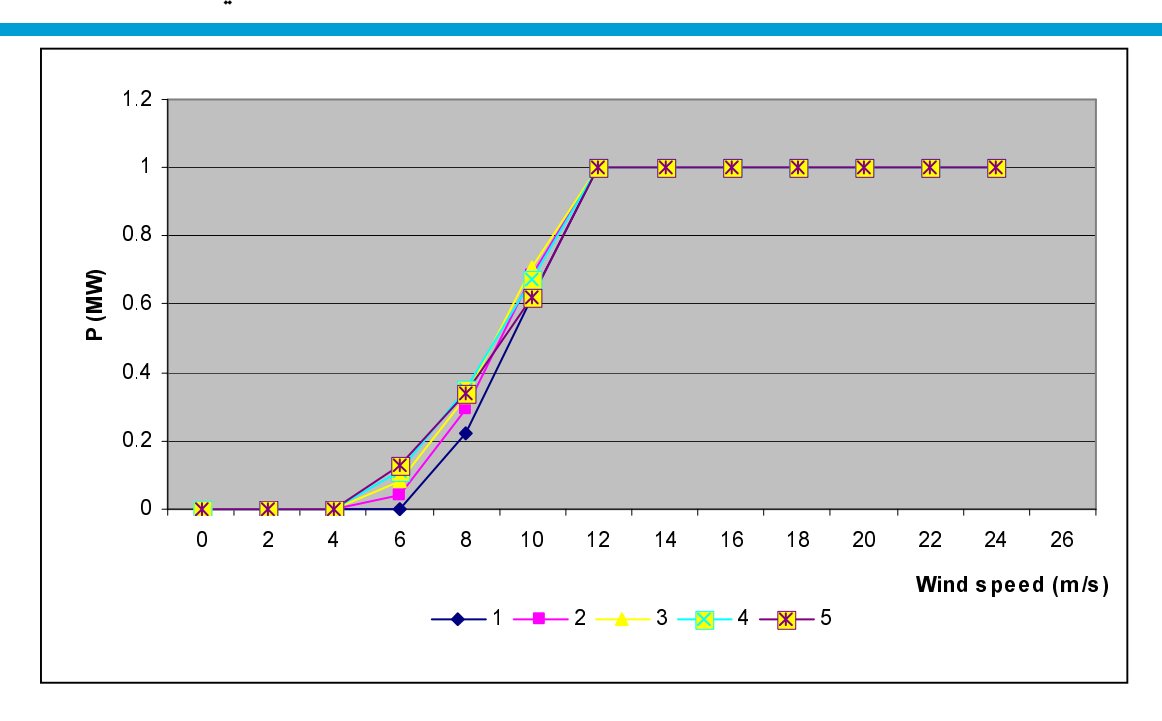


شكل (4) منحني معامل القدرة للنماذج المختلفة

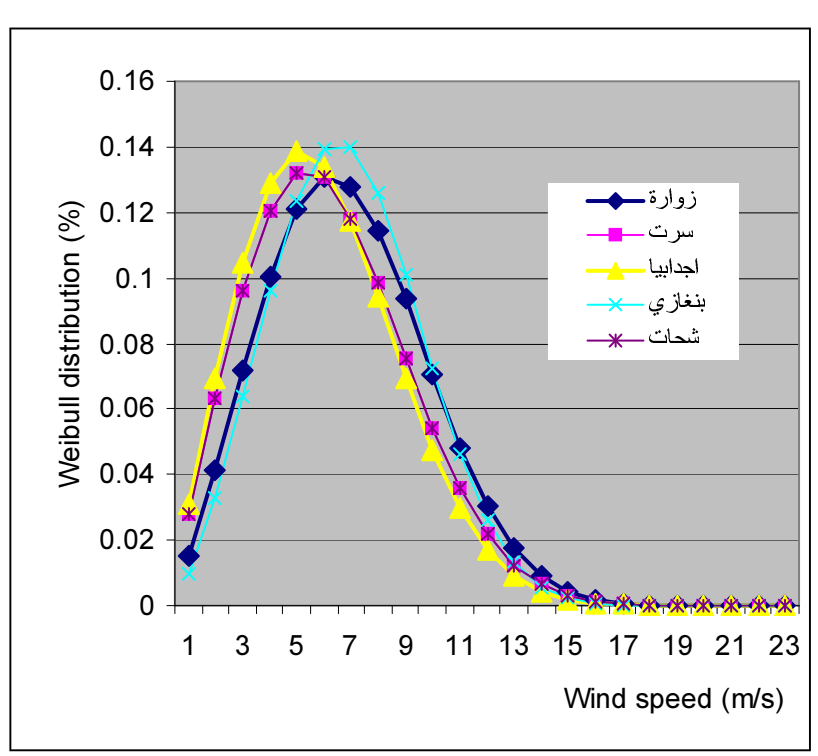


شكل (5) منحنى معامل الدفع للنماذج المختلفة

#### تقنيات الطاقة



شكل (6) منحنى القدرة للنماذج الخمسة



شكل (7) التوزيع التكراري لدالة ويبل للمناطق المختلفة

هذه الدراسة، يتضح أن السطاقة المتوقع توليدها سنوياً من النموذجين رقم ثلاثة وأربعة تكون اكبر مسن النماذج الأخرى، كما أن الطاقة المولدة من النموذجين متساويةً في المولدة من النموذجين متساويةً في شحات ، بينما يوجد تفاوت بسيط لا يتجاوز نسبة 1% في منطقة زواره و الجدابيا. ويرجع سبب الاختلاف في الجدابيا. ويرجع سبب الاختلاف في المقدرة الموضح في الشكل (6)، التوزيع التكراري لدالة ويبل الموضح في الشكل (7)، ومثال على ويبل لكل من منطقة زوارة واجدابيا ويبل لكل من منطقة زوارة واجدابيا

## 6-المراجع

- 1. A. Yagob, "Determination of WECS'S Design wind Speeds", Al-Fatah University, 1997.
- 2. C. N. Jones, "Notes on the effects of site W.S frequency distribution and machine performance characteristics on the annual energy output of a WECS"Wind engineering, Vol. 10, No.1, 1986, Pp 31-46.
- 3. M. Eggleston, S. Stoddard, "Wind Turbine Engineering Design", van Nostrand Reinhold company inc, new York, 1986.

## مع منحني القدرة يلاحظ:

التوزيع التكراري لدالة وبيل شكل ( 7)، بمنطقــة زواره يكون المنوال عند سرعة الرياح 6 م/ث .بينمــا في منطقة اجدابيا يكون المنوال عند 5 م/ث. كما أن الشكل العام لمنحنى التوزيع التكراري لها يكون أكثر تحدباً واقـــل اتساعاً .

الفروق المذكورة في النقطة السابقة انعكست على كمية الطاقة المنتجة، ويتضح هذا بالنظر إلى منحنى القدرة، حيث يلاحظ أن نموذج رقم واحد واثنين كذلك رقم شسة تكون القدرة المولدة أقل عند سرعات الرياح الأقل من12 م/ ث. ويتناسب هذا الانخفاض في أداء هذه المنحنيات عند مقارنتها مع الطاقة الناتجة سنوياً المتوقع الحصول عليها.

#### الخلاصة

مما سبق يتضح أن نموذجين رقم ثلاثة وأربعة هما الأقضل. ولكن في حالة اعتماد نموذج واحد فقط للتصنيع يفضل نموذج رقم أربعة الذي صمم عند نسبة سرعة طرفية 9، لأنه يعطي طاقة سنوية أعلى، وتنخفض هذه الطاقة في النموذج رقم (3) بمنطقة زوارة بنسبة 1 %، إلا أن قوة الدفع المتعرض لها هذا النموذج تكون اكبر، مثال على ذلك تكون نسبة الزيادة في قيمة معامل الدفع للنموذج رقم 3 عنها في النموذج رقم 4 عند سرعة 6م/ث مما يؤثر على منظومة الرياح سلباً. كما أثبتت النتائج أنه عندما يكون سمك الريشة أقل تعطي أداء أفضل بسبب النقص في قوة الكبح المعرضة لها الريشة، مثال على ذلك عندما تكون الريشة صممت بناء على رقم NACA 4418

كما يمكن الاستفادة من هذه الدراسة أيضا في مناطق أخرى ذات مواصفات مشابهة للمواصفات الموضحة في جدول (1). حيث أثبتت هذه الدراسة أن الاختلافات البسيطة في مواصفات المناطق لا يؤثر بنسبة كبيرة في عملية اختيار التربينة، وخصوصاً عند أخد الجوانب الاقتصادية والفنية بعين الاعتبار.